

شبیه‌سازی و بهینه‌سازی فرایند تولید آمونیاک - "کلاغ"

نیما رمضانی، ماسالله رضا کاظمی، محمد رضا دهقانی*

تهران، دانشگاه علم و صنعت ایران، دانشکده مهندسی شیمی

پیام نگار: m_dehghani@iust.ac.ir

چکیده

آمونیاک از مهم‌ترین محصولات پتروشیمی می‌باشد که در سطح گستردگی در دنیا تولید می‌شود و نقش عمده‌ای در تولید سایر محصولات شیمیایی دارد. هیدروژن و نیتروژن خوراک اصلی سنتز آمونیاک می‌باشند. معمولاً هیدروژن از طریق فرایند تبدیل با بخار آب هیدروکربن‌های سبک (گاز طبیعی) و نیتروژن از هوا بدست می‌آید. در این مقاله فرایند تولید آمونیاک تحت لیسانس کلاغ، با استفاده از نرم‌افزار هایسیس در حالت پایا شبیه‌سازی شده و نتایج آن با داده‌های واقعی فرایند مقایسه گردیده و گزارش شده است. پس از اطمینان از صحت شبیه‌سازی شرایط بهینه عملکردی فرایند به منظور افزایش میزان تولید آمونیاک بررسی شده است.

کلمات کلیدی: آمونیاک، کلاغ، شبیه‌سازی حالت پایا، نرم‌افزار هایسیس

شرایط فیزیکی خوراک، مانند دما، فشار، شدت و شدت جریان خوراک ورودی و ترکیب درصد اجزاء (غلظت خوراک) و همچنین تغییر ابعاد دستگاه‌های فرایندی و تأثیر آنها بر نتیجه فرایند (درصد تبدیل) را بدست آورد [۲-۳]. از مشخصه‌های مهم این فرایند تولید آمونیاک می‌توان به موارد زیر اشاره کرد:

- ۱) استفاده از راکتور فشار پایین
- ۲) خالص‌سازی آمونیاک تا ۹۹/۹۹ درصد مولی
- ۳) استفاده از تبدیل گر اولیه و ثانویه برای تولید گاز سنتز عملیات اصلی و مهم در فرایند تولید آمونیاک

(۱) تهیه گاز سنتز
۲) تصفیه مواد زائد و سوموم کاتالیزگر
• انجام واکنش انتقال آبی گاز به منظور تبدیل مونوکسید کربن و دی‌اکسید کربن

۱- مقدمه

سنتز آمونیاک اولین بار توسط هاربر^۱ پایه‌گذاری شده است. آمونیاک به عنوان یک ماده اولیه شیمیایی در بسیاری از صنایع مورد استفاده قرار می‌گیرد خصوصاً در تهیه کودهای شیمیایی نیتروژن دار کاربرد دارد و بعد از اسید سولفوریک بیشترین مصرف را در صنایع شیمیایی دارد. هیدروژن و نیتروژن خوراک اصلی سنتز آمونیاک می‌باشند. معمولاً هیدروژن از طریق فرایند تبدیل با بخار آب هیدروکربن‌های سبک (گاز طبیعی) و نیتروژن از هوا بدست می‌آید. موارد فوق اهمیت بررسی فرایند آمونیاک را نشان می‌دهد [۱].

۲- شبیه‌سازی و اهداف آن

در شبیه‌سازی فرایندهای شیمیایی، می‌توان با ارتباط بین پارامترهای مؤثر در فرایند رفتار و عملکرد آن فرایند را با تغییر

1. Feritz Harber

راکتور، مونوکسید کربن با بخار آب ترکیب می‌شود و تولید هیدروژن را ایجاد کردن می‌کند [۴-۷].

۲) جذب انیدرید کربنیک

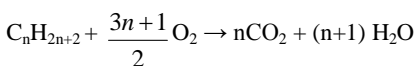
گاز با محلول مونوآتانول آمین یا محلول بنفیل دی‌کربنیک شسته می‌شود و به راکتور تولید متان فرستاده می‌شود. در این راکتور، اکسیدهای کربن در حضور کاتالیزگر نیکل با هیدروژن ترکیب می‌شوند و تولید متان می‌کنند [۴-۷].

۳) سنتز آمونیاک

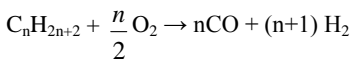
راکتور سنتز آمونیاک از اکسید مغناطیسی آهن پر شده است، گازها پس از عبور از کمپرسور، خنک کننده و جداکننده گاز از مایع، به راکتور فرستاده می‌شود. فشار راکتور استفاده شده در این دانش فنی حدود ۱۵۰ اتمسفر و دمای آن حدود ۴۲۰ °C است. گازهای واکنش نکرده مجدداً به راکتور بازگشت داده می‌شوند [۴-۷].

۴- واکنش‌های کلی

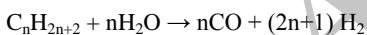
برای یک هیدروکربن واکنش‌های کلی زیر اتفاق می‌افتد [۳]:
اکسایش کلی



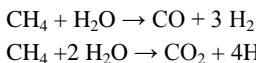
اکسایش جزئی



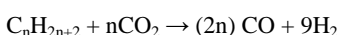
تبديل با بخار^۱



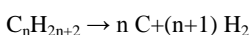
تبديل با بخار متان



تبديل دی اکسید کربن^۲



واکنش شکست^{*}



1. Steam Reforming
2. CO₂ Reforming
3. Cracking

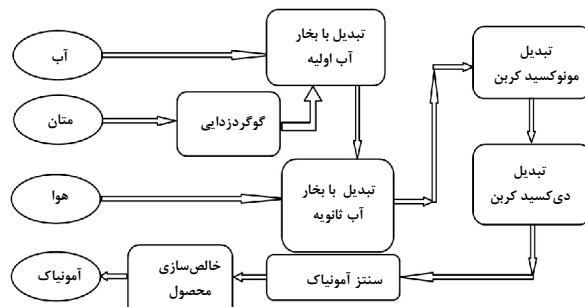
۰ جذب دی اکسید کربن در برج جذب

• تبدیل بقایای مونوکسید کربن و دی اکسید کربن به متان در واکنش تولید متان

۳) سنتز آمونیاک

• رساندن گازها به شرایط انجام واکنش
• جداسازی آمونیاک از گازها [۳].

نمای ساده‌ای از فرایند سنتز آمونیاک در شکل (۱) نشان داده شده است:



شکل ۱- نمای ساده‌ای از فرایند سنتز آمونیاک

۳- شرح مختصر فرایند کلاگ

در فرایند کلاگ، آمونیاک طی مراحل تبدیل، جذب انیدرید کربنیک و سنتز آمونیاک تولید می‌شود.

۱) تبدیل

گاز طبیعی به راکتوری از کاتالیزگر کبالت‌مولیبدنیم، فرستاده می‌شود تا ترکیبات گوگردی موجود در جریان به هیدروژن سولفید تبدیل و با محلول مونوآتانول آمین، شسته شود. هنوز مقدار بسیار کمی ترکیبات گوگردی همراه جریان باقی خواهد ماند که این ترکیبات نیز در مرحله بعد توسط اکسیدروری حذف می‌شوند. سپس گاز به همراه بخار آب به تبدیل‌گر اول و پس از آن به ریفرمر دوم فرستاده می‌شود. هیدروکربن در حضور کاتالیزگر نیکل به هیدروژن و اکسیدهای کربن تبدیل می‌شود. هوا نیز وارد تبدیل‌گر دوم می‌شود تا نیتروژن مورد نیاز تأمین گردد. گازهای خروجی از تبدیل‌گر دوم به راکتور تبدیل مونوکسید کربن به انیدرید کربنیک فرستاده می‌شود. این راکتور حاوی دو نوع کاتالیزگر (کاتالیزگر اکسید آهن و (اکسید مس - اکسید روی)) پر شده است. در این

۴. ادواتی مانند صافی‌های جداسازی مواد جامد که تأثیری در نتایج شبیه‌سازی ندارند در شبیه‌سازی آورده نشده‌اند.

۵. در بخش واکنش‌ها واکنش مربوطه مطابق بخش ۳ تعریف شده‌اند.

شبیه‌سازی فرایند براساس نقشه‌های فرایندی انجام شده است. در شکل (۲) نمودار کلی جریان در محیط شبیه‌سازی هایسیس ارائه شده است.

۶- نتایج حاصل از شبیه‌سازی

در این شبیه‌سازی، دما و فشار از پارامترهای تنظیم شونده در شبیه‌سازی محسوب می‌شوند بنابراین کلیه دمایا و فشارها مطابق با نقشه فرآیندی می‌باشند. نتایج حاصل از شبیه‌سازی به همراه مقادیر واقعی در نقشه فرایندی، در جدول (۱) ارائه شده‌اند. مقدار خطا نشان‌دهنده میزان دقت شبیه‌سازی می‌باشد. در محصولات خروجی بهدلیل کوچک بودن مقدار مول متان و آرگون خطای شبیه‌سازی افزایش یافته است. قابل ذکر است که جریان‌های اصلی فرایند با یکدیگر مقایسه شده‌اند.

۷- بررسی پارامترهای فرایندی و تعیین شرایط بهینه با توجه به نتایج شبیه‌سازی به بررسی پارامترهای عملیاتی فرایند کلاغ می‌پردازیم، شرایط بهینه عملکرد واحد مشخص خواهد شد. قابل ذکر است که راکتور سنتز آمونیاک گلوگاه اصلی فرایند است.

۷-۱- اثرات گاز تخلیه شونده بر میزان تولید

این گاز به منظور خارج کردن گازهای خنثی و جلوگیری از تجمع گاز در لوب سنتز از واحد خارج می‌شود. جدول (۲) درصد تبدیل آمونیاک با تغییرات درصد گاز خنثی را نشان می‌دهد. جدول (۲) بیانگر آن است که گاز تخلیه شونده تأثیر بسیاری بر میزان درصد تبدیل آمونیاک دارد، هرچه میزان گاز خنثی در راکتور افزایش یابد درصد تبدیل، کمتر می‌شود. علت این امر این است که با افزایش گازهای خنثی در خوراک ورودی به راکتور، فشار جزئی مواد در راکتور کاهش می‌یابد بنابراین طبق اصل لوشاتلیه، مقدار آمونیاک تولیدی کاهش می‌یابد. شکل (۳) مقدار آمونیاک تولیدی را بر حسب غلظت گاز خنثی در دمای‌های مختلف نشان می‌دهد.

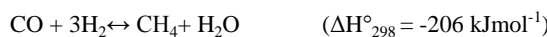
5. Purge

واکنش‌هایی که گاز سنتز در آن نقش دارد:

انتقال گاز با استفاده از آب^۱



تولید متان^۲



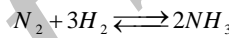
بودورد^۳



کربن‌زدایی^۴



واکنش راکتور سنتز آمونیاک [۳]:



۵- روند شبیه‌سازی

مطابق با اطلاعات موجود در نقشه فرایندی، جهت شبیه‌سازی کل فرایند، ابتدا مواد موجود در فرایند و سپس معادله حالت مناسب مطابق با مواد انتخابی و نیز واکنش‌های مربوطه تعریف می‌گردد. شبیه‌سازی همراه با فرضیاتی بوده است که در ادامه به آن‌ها پرداخته می‌شود.

۱. در بخش معادلات حالت، تا قبل از راکتور سنتز آمونیاک از معادله حالت پنگ رابینسون استفاده شده است. اما بعد از راکتور

بهدلیل حضور آب و آمونیاک در جریان از COM Thermo استفاده شده است به نحوی که برای فاز بخار معادله پنگ رابینسون و برای فاز مایع معادله حالت NRTL تعریف شده است.

۲. افت فشار در همه تقطیرکننده‌های سریع استوانه‌ای و تبدیل گرهای حرارتی با توجه به اطلاعات نقشه‌های فرایندی و فشار جریان‌ها در نظر گرفته شده است.

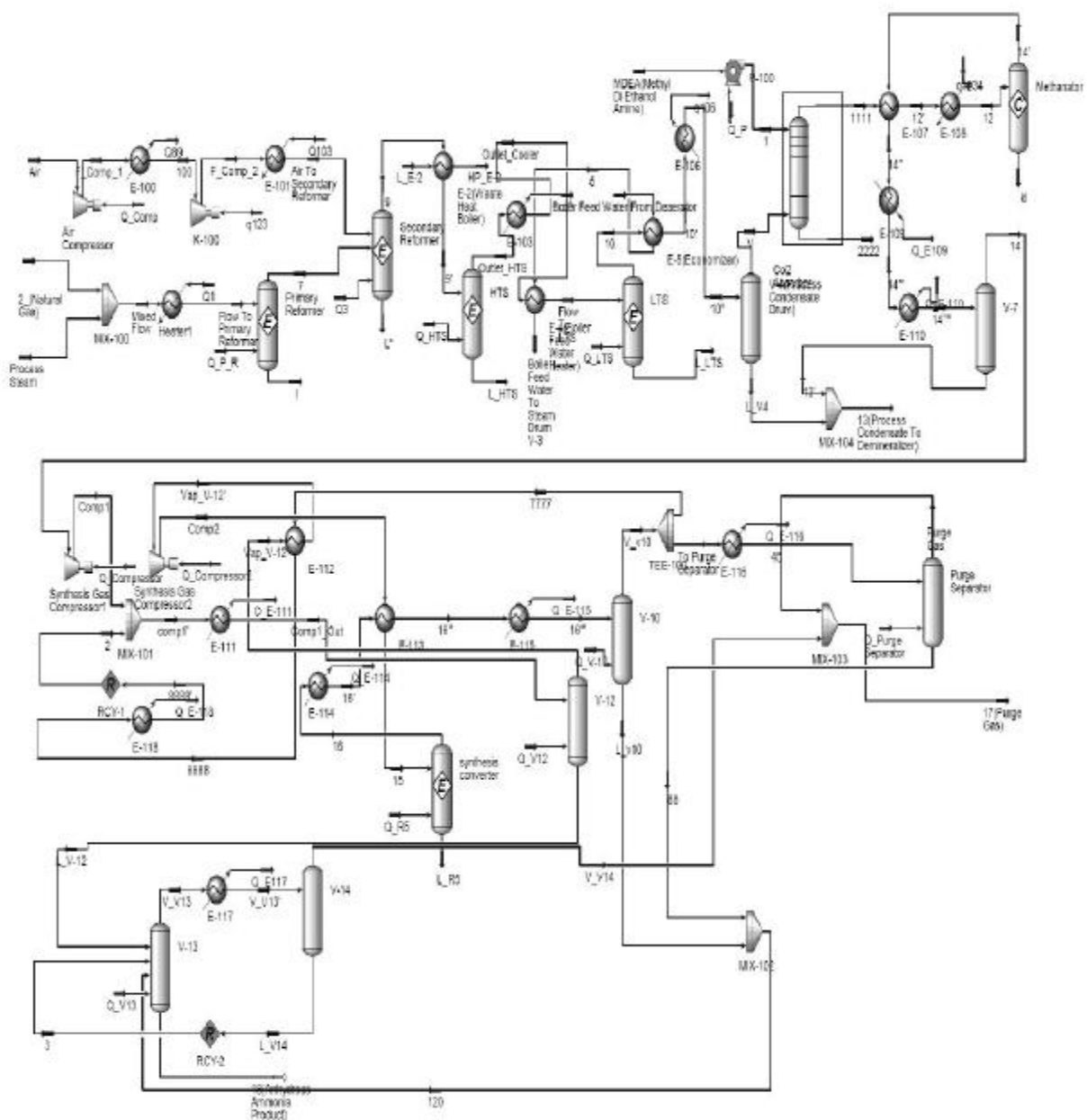
۳. تمامی کمپرسورها در حالت عملیاتی آدیاباتیک با بازدهی ۷۵٪ منظور شده‌اند.

1. Water-Gas Shift

2. Methanation

3. Boudouard

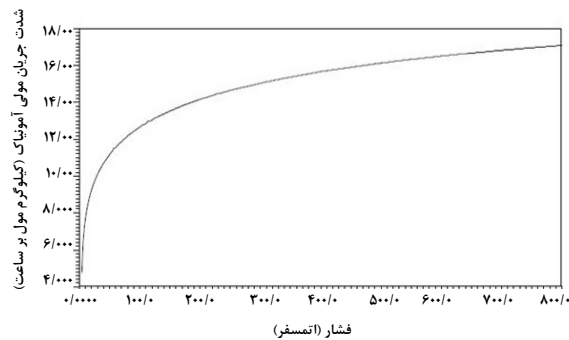
4. Carbon Gasification



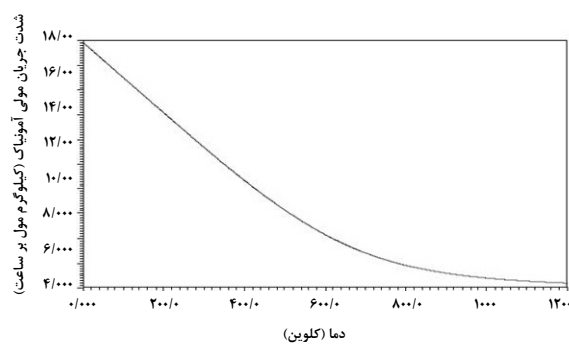
شبیه‌سازی و بهینه‌سازی فرایند تولید آمونیاک - "کلگ"

جدول ۱- مقایسه داده‌های موجود در نقشه فرایندی و نتایج حاصل از شبیه‌سازی

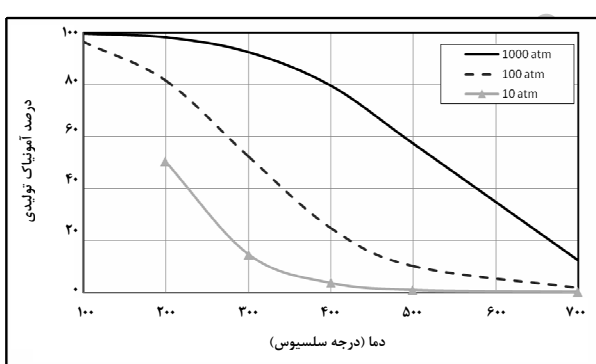
شدت جریان مولی کل (ساعت)	شتبه‌سازی	PFD	درصد خطا	شتبه‌سازی	PFD	درصد خطا	شتبه‌سازی		درصد خطا	شتبه‌سازی	PFD	درصد خطا	
ورودی راکتور تولید متان				خروجی LTS				خروجی تبدیل‌گر ثانویه				خروجی تبدیل‌گر اولیه	
۱۵/۴	۴۵	۳۹	۱۵/۴	۴۵	۳۹	۱۵/۴	۴۵	۳۹	۵	۱۰۲۰	۱۰۷۴	متان	
۴/۲	۴۰۵۰/۹	۴۲۳۰	۲/۹	۴۳۵۱/۹	۴۲۳۰	۲/۹	۴۳۵۱/۹	۴۲۳۰	۰/۱	۱۲۱/۹	۱۲۲	نیتروژن	
.	اکسیژن	
۱/۹	۱۲۷۸۳/۷	۱۳۰۳۴	۲/۱	۱۳۳۷۲/۷	۱۳۰۹۲	۲/۲	۱۱۱۲۷	۱۰۸۸۶	۱/۶	۱۰۳۰۵	۱۰۱۴۵	هیدروژن	
۱۸/۶	۷۰	۸۶	۱۸/۶	۷۰	۸۶	۰/۴	۲۲۸۲/۱	۲۲۹۲	۴/۲	۱۳۷۸	۱۳۲۲	مونوکسید کربن	
۴۰	۲۸	۲۰	۱	۳۸۵۳/۲	۳۸۱۶	۰/۲	۱۶۰۷/۵	۱۶۱۰	۰/۱	۱۵۴۳/۱	۱۵۴۵	دی اکسید کربن	
۱۲	۴۴	۵۰	۰	۵۰	۵۰	۰	۵۰	۵۰	۰	۰	۰	آرگون	
۹/۵	۴۳۱/۹	۴۷۷	۰/۲	۱۰۲۰۸/۲	۱۰۲۲۳	۰/۱	۱۲۴۵۳/۹	۱۲۴۳۹	۰/۵	۱۱۳۳۸/۸	۱۱۳۹۱	آب	
.	۰	۰	آمونیاک	
۲/۷	۱۷۴۵۳/۵	۱۷۹۳۶	۱/۳	۳۱۹۵۱	۳۱۵۴۶	۱/۲	۳۱۹۱۷/۴	۳۱۵۴۶	۰/۴	۲۵۷۰۶/۸	۲۵۵۹۹	شدت جریان مولی کل	
۸۶/۷	۵/۶	۳	۱۲/۸	۶۵۸۳/۶	۷۵۴۷	۱۲/۸	۶۵۸۳/۶	۷۵۴۷	۲۴/۶	۱۸۰/۷	۱۴۵	متان	
۳۰	۲/۶	۲	۶/۴	۱۳۵۸۶/۷	۱۲۷۷۳	۶	۱۷۸۹۰/۹	۱۶۸۷۸	۴/۲	۴۰۵۰/۹	۴۲۳۰	نیتروژن	
.	۰	۰	اکسیژن	
۹/۵	۴/۴	۴	۲/۱	۳۷۷۰۹/۸	۳۸۴۰۱	۴/۴	۵۲۹۴۱/۷	۵۰۷۱۶	۷/۴	۱۱۷۵۲/۱	۱۲۶۹۶	هیدروژن	
.	۰	۰	مونوکسید کربن	
.	۰	۰	دی اکسید کربن	
۶۵/۵	۲/۳	۲	۱۷/۳	۳۵۲۲/۷	۳۰۰۲	۱۷/۳	۳۵۲۲/۷	۳۰۰۲	۱۲	۴۴	۵۰	آرگون	
۵۳/۷	۴/۶	۳	۰	۰	۰	۰	۰	۰	۲۴/۶	۴۶/۱	۳۷	آب	
۵/۲	۷۷۸۵/۶	۰۸۱۸۸	۰/۷	۱۱۲۸۷/۷	۱۱۲۱۳	۱۸/۶	۳۵۶۱/۹	۳۰۰۳	۰	۰	۰	آمونیاک	
۵/۱	۷۷۸۶/۱	۸۲۰۲	۱	۷۲۱۹۰/۵	۷۲۹۲۶	۴/۱	۸۴۵۰۰/۸	۸۱۱۴۶	۶/۳	۱۶۰۷۳/۸	۱۷۱۵۸	شدت جریان مولی کل	



شکل ۵- نمودار جزء مولی آمونیاک تولیدی بر حسب فشار راکتور در دمای 700 F



شکل ۶- نمودار جزء مولی آمونیاک تولیدی بر حسب دمای راکتور در فشار 300 atm



شکل ۷- میزان آمونیاک تولید شده بر حسب دما در فشارهای مختلف

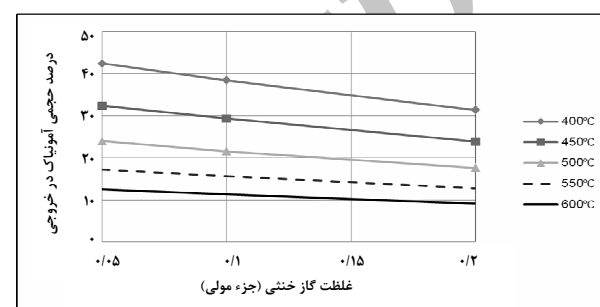
با توجه به آن چه در بالا اشاره شد، می‌توان با کاهش دمای راکتور، کاهش غلظت آمونیاک (این دو به وسیله گاز سرد Quench امکان‌پذیر است)، کاهش غلظت گاز خنثی (با زیاد کردن تخلیه شونده) تولید بیشتر را می‌توان انتظار داشت.

شکل (۷) میزان آمونیاک تولید شده بر حسب دما را در فشارهای مختلف نشان می‌دهد.

جدول ۲- اثر گاز خنثی بر واکنش سنتز آمونیاک

در دمای 700 F و فشار 300 atm

کل گاز خنثی در خوداک ورودی به راکتور (درصد مولی)	آمونیاک تولیدی در حالت تعادل (تعداد مولهای آمونیاک به ازای بر مول گاز)	درصد تبديل
۱	۰/۲۹۰	۵۸/۶
۵	۰/۲۷۴	۵۷/۸
۱۰	۰/۲۵۴	۵۶/۵
۲۵	۰/۱۹۷	۵۲/۷
۵۰	۰/۱۱۱	۴۴/۵

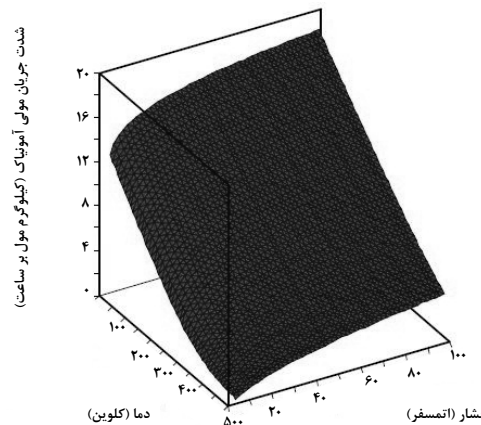


شکل ۳- اثر گاز خنثی بر تبدیل آمونیاک

در دمای 700 F و فشار 300 atm

۲-۷ اثر دما و فشار

از دیگر عواملی که در تولید آمونیاک مؤثرند دما و فشار می‌باشند. همان‌طوری که در شکل‌های (۴) تا (۷) مشاهده می‌شود با افزایش فشار و کاهش دما غلظت تعادلی آمونیاک افزایش می‌یابد، که تعیین دقیق دما و فشار بهینه در مصرف انرژی بسیار مؤثر است.



شکل ۴- نمودار سه بعدی جزء مولی آمونیاک تولیدی
بر حسب دما و فشار راکتور

-۸- نتیجه‌گیری

با توجه به طرح‌های مختلف در دست اجرا در زمینه آمونیاک در کشور و وجود فرایندهای مختلف از صاحبان فناوری، ارزیابی دقیق و مقایسه‌ای این فرایندها می‌تواند به عنوان یک راهنمای انتخاب تکنولوژی در اختیار مسئولین قرار گیرد. شبیه‌سازی فرایند می‌تواند به عنوان ابزاری توانمند در تعیین شرایط بهینه فرایندی مورد استفاده قرار گیرد. با توجه به پارامترهای فرایندی و عملیاتی که بررسی شد بمنظور افزایش تولید بیشتر آمونیاک بایستی:

- حضور گاز خنثی در راکتور سنتز کاهش یابد.
- دمای راکتور کاهش و فشار افزایش یابد.

با توجه به مواد مختلف موجود در فرایند و نتایج حاصل از شبیه‌سازی، مطلوب‌ترین معادلات برای شبیه‌سازی فرایند معادله پنگ رابینسون برای فاز بخار، NRTL برای فاز مایع، می‌باشد.

مراجع

- [1] License Programming, "Hydrocarbon Processing's Petrochemical Processes Handbook", Gulf Publishing, 2nd Edition, pp 97-108, (2005).
- [2] K. M. Hang's, I. T. Cameron "process modeling and model analysis", Academic press, Vol 4, pp 63-81, (2001).
- [3] W. L. Luyben, "Process Modeling Simulation and Control for Chemical Engineers", McGraw-Hill, New York, 2nd Edition, pp 87-116, (1990).
- [4] Samuel Stelzoff, "Technology and Manufacture of Ammonia", wiley, pp 56-84, (1981).
- [5] S. C. Tsang, J. B. Claridge and M. L. H. Green, "Recent advances in the conversion of methane to synthesis gas", catalysis today, 23, 1, 3-15, (1995).
- [6] B.M. Tindall, M.A Crews, "Alternative technology to steam - methane reforming", Hydrocarbon processing", 74, 11, 75-82, (1995).
- [7] D. William, Jr. McCain "The Properties Petroleum Fluids" Pennwell Publishing Company, 2nd Edition, pp 302-386, (1990).